

УДК 539.3:534.1

© 1991 г.

Д. Д. ЗАХАРОВ, И. В. СИМОНОВ

**РЕЗОНАНСНЫЕ ЭФФЕКТЫ ДВУХСЛОЙНОЙ УПРУГОЙ  
ПЛАСТИНЫ С ДИСКОВИДНОЙ ТРЕЩИНОЙ ОТРЫВА  
НА ГРАНИЦЕ РАЗДЕЛА СРЕД**

Строится решение задачи об осесимметричных колебаниях безграничной двухслойной пластины с межфазной трещиной, асимптотически точное в низкочастотной области и при малом отношении толщины пластины к радиусу трещины [1]. Асимптотический подход позволяет получить опорные результаты для соответствующей трехмерной задачи и провести подробный параметрический анализ. Исследуется энергия системы и мощность излучения на бесконечность, амплитудно-частотные характеристики максимальных перемещений, напряжений и коэффициентов интенсивности напряжений. Возможная смена типов разрушения анализируется на основе критерия разрушения, идентично близкого к критериям Эрдогана-Си [2, 3]. При варьировании параметров слоев обнаруживается эффект расщепления квази-резонансов и новая форма колебаний, характерная для несимметричной структуры (она напоминает синхронное движение впаянных в слои жестких шайб). Найдено уравнение поверхности в пространстве параметров, на которой колебания локализуются, появляется действительный спектр, резонансы становятся неограниченными.

1. Рассматривается упругая пластина, составленная из двух идеально склеенных бесконечных слоев с дисковидной трещиной на границе раздела сред;  $\rho_j$  — плотность слоев;  $H_j$  ( $j=1, 2$ ),  $H_3 = H_1 + H_2$  — толщины;  $E_j$ ,  $v_j$  — модули Юнга и коэффициенты Пуассона.

Будем предполагать, что величина  $\varepsilon = H_3/2L \ll 1$ , где  $L$  минимальный характерный размер рисунка деформации в направлении вдоль слоев и прочие малые (большие) параметры отсутствуют. На характерное время процесса наложим дополнительное ограничение  $t_0 \sim L/\varepsilon c_1$ ,  $c_1 = \sqrt{E_1/\rho_1}$ . Тогда от исходных трехмерных динамических уравнений теории упругости можно перейти к приближенным двумерным осредненным уравнениям [1]. При этом существует такая система отсчета (связанная с приведенной средней линией), что в первых приближениях разделяются динамическая задача о нормальном нагружении и квазистатическая задача о тангенциальном нагружении с точностью  $O(\varepsilon^2)$  в уравнениях. Для случая нормального нагружения это уравнения классической теории изгиба Кирхгофа — Лява с осредненными коэффициентами.

Введем безразмерную (нормированную на  $L=R$ ,  $R$  — радиус трещины) цилиндрическую систему координат  $z$ ,  $r$ ,  $\theta$ . Положение границы раздела слоев и положение лицевой поверхности  $j$ -го слоя зафиксируем координатами

$$z_1 = (\chi h_2^2 - h_1^2)/2(\chi h_2 + h_1), \quad h_j = H_j/R \quad (1.1)$$
$$z_{j+1} = z_1 + (-1)^{j+1} h_j, \quad \chi = E_2(1-v_1^2)/E_1(1-v_2^2)$$

На берегах трещины зададим нормальную нагрузку интенсивности  $q$  (временной множитель  $e^{i\omega t}$  опускаем), вне трещины поставим условие полного контакта слоев.

Области, занимаемые однородными дисками над и под трещиной обозначим  $\Omega_{1,2}$ , область  $\Omega_3 = \{z_3 \leq z \leq z_2, r \geq 1, 0 \leq \theta < 2\pi\}$  — дополнение до всей пластины.

Приходим к следующим задачам в асимптотической постановке для нормированных на  $R$  вертикальных прогибов  $w_j$  в областях  $\Omega_j$  ( $j=1, 2, 3$ ):

$$\begin{aligned} (\Delta - k_j^2)(\Delta + k_j^2)w_j &= a_j, \quad \Delta = \partial^2/\partial r^2 + (1/r)\partial/\partial r \\ k_j &= (\rho_j H_j \omega^2 R^4/D_j)^{1/4}, \quad D_j = E_j H_j^3 / 12(1-v_j^2) \quad (j=1, 2) \\ D_3 &= 2\{D_1(2z_2+z_1)/h_1 - D_2(2z_3+z_1)/h_2\} \\ \rho_3 &= (\rho_1 H_1 + \rho_2 H_2)/H_3 \\ a_j &= (-1)^{j+1} q R^3 / D_j \quad (j=1, 2), \quad a_3 = 0 \end{aligned} \quad (1.2)$$

Условие полного контакта слоев в области  $\Omega_3$  учтено при выводе асимптотических уравнений. На бесконечности поставим дополнительное условие излучения:

$$p[w_3] \geq 0 \quad (1.3)$$

где  $p$  — средний за период колебаний поток мощности через круговую цилиндрическую поверхность с осью  $z$ .

Требованию непрерывности перемещений и напряжений на общей границе областей  $\Omega_{1,2}$  и  $\Omega_3$  удовлетворяем интегрально, рассматривая обычные условия непрерывности прогибов, углов наклона, изгибающих моментов и перерезывающих сил при  $r=1$  ( $j=1, 2, 3$ ):

$$\begin{aligned} w_1 = w_2 = w_3, \quad \psi_1 = \psi_2 = \psi_3, \quad \psi_j = -\partial w_j / \partial r \\ M_1 + M_2 = M_3, \quad M_j = -\frac{D_j}{R} \left[ \Delta w_j - \frac{1-v_j}{r} \frac{\partial w_j}{\partial r} \right] \\ v_3 = \frac{2}{D_3} \left[ \left( 2+3 \frac{z_1}{h_1} \right) v_1 D_1 + \left( 2-3 \frac{z_1}{h_2} \right) v_2 D_2 \right] \\ Q_1 + Q_2 = Q_3, \quad Q_j = \frac{D_j}{R^2} \frac{\partial}{\partial r} (\Delta w_j) \end{aligned} \quad (1.4)$$

Общие интегралы уравнений (1.2) с учетом условия излучения (1.3) принимают вид

$$\begin{aligned} w_1 &= (AJ_0(k_1 r) + BI_0(k_1 r) - 1)b_1 \\ w_2 &= (cJ_0(k_2 r) + DI_0(k_2 r))b_1 + b_2 \\ w_3 &= (EH_0^{(2)}(k_3 r) + FK_0(k_3 r))b_1, \quad b_j = q/(\rho_j H_j R \omega^2) \end{aligned}$$

где  $A, B, \dots, F$  — комплексные константы, определяемые из системы (1.4);  $J_0, I_0$  — обычные и модифицированные функции Бесселя;  $H_0^{(2)}, K_0$  — функции Ханкеля второго рода и Макдональда нулевых порядков.

Поскольку в однородных дисках  $\Omega_{1,2}$  напряжения  $\sigma_r, \sigma_\theta$  изменяются линейно по толщине и антисимметричны относительно собственных средних линий, достаточно исследовать их на границе раздела слоев. Соответствующие выражения даются классической теорией изгиба. Напряжение  $\sigma_{rz}$  имеет на единицу меньший порядок и не равно нулю на границе раздела лишь при  $r \geq 1$ . В области  $\Omega_3$  напряжения имеют вид:

$$\begin{aligned} \sigma_{rz} &= -\frac{E_j z}{1-v_j^2} \left( \Delta - \frac{v_j}{r} \frac{\partial}{\partial r} \right) w_3, \quad \sigma_{rzz} = \frac{E_j (z^2 - z_{j+1}^2)}{2(1-v_j^2)} \frac{\partial}{\partial r} (\Delta w_3) \\ \sigma_{\theta j} &= -\frac{E_j z}{1-v_j^2} \left( v_j \Delta + \frac{v_j}{r} \frac{\partial}{\partial r} \right) w_3, \quad v_j = 1 - v_j \end{aligned}$$

2. Полная механическая энергия пластины оказывается бесконечной, т. к. решение не принадлежит энергетическому классу  $L_2$ . Однако имеет смысл рассмотреть энергию областей  $\Omega_{1,2}$ . Осредняя по периоду колебаний и интегрируя по областям, получаем следующую формулу для суммарной энергии:

$$e_{12} = \frac{3(1-v_1^2)}{k_1^4} (1+\alpha^{-1})^2 (e_1 + e_2) \frac{q^2 R^3}{E_1 h_3^3},$$

$$\alpha = h_1/h_2, \quad \gamma = \rho_1/\rho_2 \quad (2.1)$$

$$e_1 = |A|^2 (J_{01}^2 + J_{11}^2) + |B|^2 (I_{01}^2 - I_{11}^2) + 1/2 - \operatorname{Re}(AJ_{11} + BI_{11})/k_1 - v_1 |AJ_{11} - BI_{11}|/k_1^2$$

$$e_2 = \gamma \alpha^{-1} \{ |C|^2 (J_{02}^2 + J_{12}^2) + |D|^2 (I_{02}^2 - I_{12}^2) + (\alpha \gamma^{-1})^2 / 2 + \alpha \operatorname{Re}(CJ_{12} + DI_{12}) / \gamma k_2 - v_2 |CJ_{12} - DI_{12}|^2 / k_2^2 \}$$

$$J_{ij} = J_i(k_j), \quad I_{ij} = I_i(k_j)$$

Осредненная по периоду колебаний мощность, излучаемая на бесконечность, выражается простым равенством:

$$p[w_3] = \frac{4|E|^2}{k_1^2} \left(1 + \frac{1}{\alpha}\right)^2 \delta C_1 \frac{(qR)^2}{E_1 h_3^3}, \quad \delta = \left\{ \frac{12(1-v_1^2)}{\alpha^3} \left( \frac{\alpha + \gamma}{\kappa(\kappa_1 + \kappa_2)} \right)^{1/2} \right\}^{1/2}$$

$$\kappa_1 = \alpha^2 (\alpha^3 + \kappa(3+4\alpha)) / \kappa(\kappa + \alpha), \quad \kappa_2 = (\kappa + \alpha(4+3\alpha)) / (\kappa + \alpha)$$

3. Асимптотическая теория дает регулярные выражения для напряжений, тогда как в полной постановке наличие трещины приводит к появлению особенности порядка  $\rho^{-1/2}$  ( $\rho$  — расстояние до контура трещины). Для определения коэффициентов интенсивности напряжений используем метод, изложенный в [4, 5]. Исходное допущение состоит в том, что развитие трещины расслаивания в окрестности контура определяется изгибающими моментами и нормальными и касательными усилиями на контуре в областях  $\Omega_j$ . Допущение выполняется тем точнее, чем меньше  $\varepsilon$ . Для трещины нормального отрыва применение теории инвариантных Г-интегралов [5] приводит к выражению:

$$2\Gamma(t) = D_1 \xi_1^2 + D_2 \xi_2^2 - D_3 \xi_3^2 \quad (3.1)$$

где  $\xi_j$  — кривизна пластинки в зоне  $\Omega_j$  на контуре трещины.

С другой стороны, рассмотрение задачи о составной полуплоскости с трещиной на границе раздела<sup>1</sup> дает другое выражение для  $\Gamma$ :

$$\Gamma(t) = 1/2 \operatorname{ch}^{-2} \pi \alpha S K_*(t), \quad S = ((1-v_1^2) E_2 + (1-v_2^2) E_1) / E_1 E_2 \quad (3.2)$$

$$\alpha_1 = \frac{1}{2\pi} \ln \frac{(1+v_2) E_1 + (3-v_1) E_2}{(3-v_2) E_1 + (1+v_1) E_2}$$

Величина  $K_*(t)$  является эффективным коэффициентом интенсивности напряжений отрыва,

$$\operatorname{Re} \sigma_{rz}(t) = (2\pi\rho)^{-1/2} K_*(t) \sin(\alpha_1 \ln \rho - a) + O(1), \quad a = \text{Const}$$

$$\operatorname{Re} \sigma_z(t) = (2\pi\rho)^{-1/2} K_*(t) \cos(\alpha_1 \ln \rho - a) + O(1), \quad \rho \rightarrow +0$$

<sup>1</sup> Симонов И. В. Распространение трещин по границе раздела упругих сред: Дис. д-ра физ.-мат. наук. 01.02.04. М., 1986. 316 с.

Сопоставляя (3.1) и (3.2), определяем амплитуду этого коэффициента интенсивности

$$K=4\left\{\left|\frac{\partial^2 u_1}{\partial r^2}\right|^2 + \frac{\kappa}{\alpha} \left|\frac{\partial^2 u_2}{\partial r^2}\right|^2 - \frac{\kappa(\kappa_1+\kappa_2)}{\alpha^3} \left|\frac{\partial^2 u_3}{\partial r^2}\right|^2\right\}^{1/2} \frac{\eta q R^{1/2}}{k_1^4 h_1^{1/2}}$$

$$\eta = \left\{ \frac{3(1-v_1^2)^2(1+\kappa^{-1})}{(1+v_1+(1+v_2)(3-4v_2)e)((1+v_2)e+(1+v_1)(3-4v_1))} \right\}^{1/2}$$

$$u_j = w_j/b_1, e = E_j/E_2$$
(3.3)

4. Аналогичным образом можно рассмотреть задачу статики в асимптотической постановке, а затем ввести коэффициенты динамичности основных величин. При постоянной нормальной нагрузке интенсивности  $q$  на берегах трещины выражения для прогибов и эффективного коэффициента интенсивности напряжений отрыва принимают следующий простой вид

$$w_j = a_j(r^2-1)^2/64 \quad (j=1, 2), \quad w_3 = 0$$

$$K_* = 1/2(1+\alpha^3/\kappa)\eta q R^{1/2} h_1^{-1/2}$$

5. При исследовании колебаний описанной упругой системы интересна эволюция максимумов прогибов, коэффициентов интенсивности напряжений и асимптотически наиболее значимых напряжений  $\sigma_r, \sigma_\theta$ , а также энергетических характеристик  $p, e_{12}, e_1/e_2, 2\ln/\omega e_{12}$  (2.2), (2.3) при варьировании параметров  $k_1, \alpha, e, \gamma, v_1, v_2$ . Анализировались безразмерные амплитудно-частотные характеристики, зависимости волновых чисел квазирезонансов от наиболее существенного параметра  $\alpha$  и формы колебаний (амплитуды и фазы). Нормировка производилась на соответствующие степени величин  $q, q/E_1, R$  и  $h_3$ ; строились также коэффициенты динамичности.

Проследим основные особенности колебаний пластины с отслоением в области частот, включающей несколько первых квазирезонансов, фиксируя упругие параметры и меняя величину  $\alpha$ .

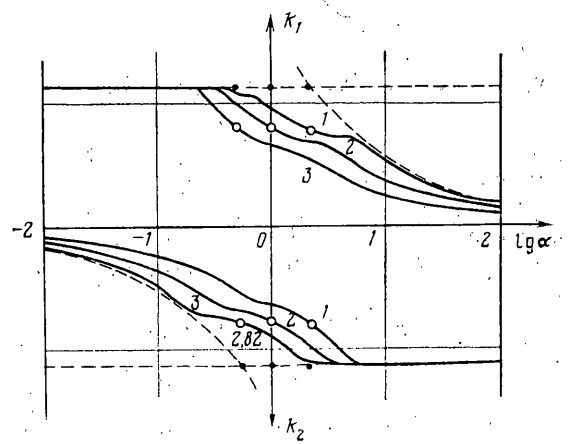
При малых  $\alpha$  (верхний слой очень тонкий) колебается преимущественно диск  $\Omega_1$  над трещиной, а диск  $\Omega_2$  возбуждается слабо. Имеет место аналогия с моделью защемленной по контуру пластины  $\Omega_1$ .

Для сопоставления на фиг. 1 ( $\gamma=1; e_j=0,25; 1; 4; j=1, 2, 3$ ) показаны пунктиром первые резонансные волновые числа в такой модели [6]:  $k_1 \approx 3,2, k_2/k_1 = \alpha^{1/2}(\gamma/\kappa)^{1/2}$ .

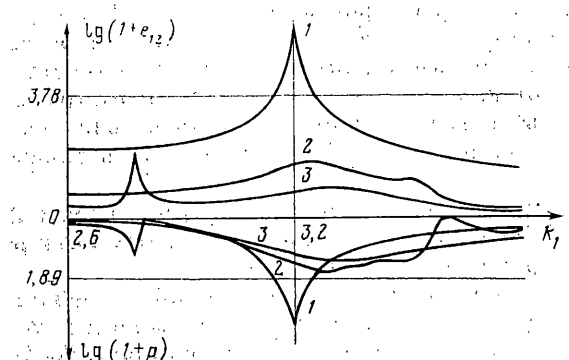
Всюду на графиках  $v_1=v_2=0,25$ . Амплитудно-частотные характеристики на квазирезонансе  $k_1 \approx 3,2$  имеют ярко выраженные локальные максимумы. Математически эти максимумы обусловлены поведением комплексного определителя системы (1.4):

$$\Delta = \Delta_1 + i\Delta_2 \quad (5.1)$$

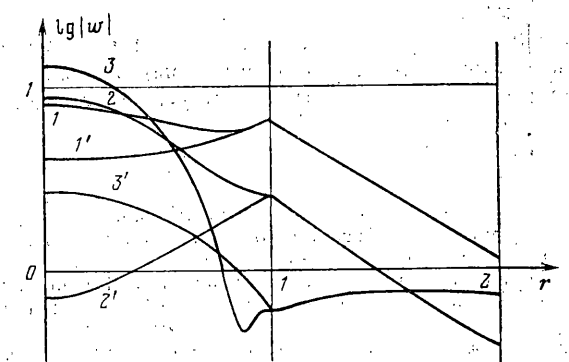
При малых  $\alpha$  квазирезонансы отвечают корням уравнения  $\Delta_2=0$ . По мере увеличения  $\alpha$  растет излучаемая на бесконечность энергия и отклонение первого квазирезонансного волнового числа от значения  $\approx 3,2$ , а начиная с некоторого значения  $\alpha=\alpha_*(e, \gamma, v_1, v_2)$  появляются качественные различия. Численный счет обнаруживает кратный корень мнимой части определителя (5.1). Поверхность  $\alpha=\alpha_*$  неявно задается системой уравнений  $\Delta_2=0, d\Delta_2/dk_1=0$ . Затем значительное влияние на резонансные свойства оказывает и действительная часть определителя  $\Delta_1$ . При  $\alpha > \alpha_*$  первый квазирезонанс расщепляется на два ( $k_1^*$  и  $k_1^{**}$ ). Нижнее волновое число  $k_1^*$  резко уменьшается с увеличением  $\alpha$ , тогда как верхнее число  $k_1^{**}$  остается относительно близким к значению 3,2. Добротности и амплитуды обоих резонансов существенно отличаются (фиг. 2:  $\gamma=1; e=0,25; \alpha_j=0,4; 0,4; 0,8$ ), а нижний квазирезонанс постепенно вырождается с ростом  $\alpha$ . Объяснение этому следующее: в окрестности точки  $\alpha=\alpha_*$  благодаря упругим связям в движение вовлекается «толстый» диск. На частоте, соответствующей  $k_1=k_1^*$  происходит перестройка формы колебаний от первоначальной «шапочки» к новой форме с практически синфазными дви-



Фиг. 1



Фиг. 2



Фиг. 3

жениями дисков  $\Omega_{1,2}$  и близкими амплитудами, слабо зависящими от радиуса  $r$  (фиг. 3, 4:  $\gamma=1$ ;  $e=0,25$ ;  $\alpha=0,8$ ;  $k_1=k_1^*$ ,  $k_{1a}, k_1^{**}$ ; индекс со штрихом соответствует диску  $\Omega$ ). Существенно возбуждается прикраевая область  $r \approx 1$ . Моделью такого движения служат синфазные колебания двух жестких шайб, впаянных в слой пластины вместо дисков  $\Omega_{1,2}$  и обладающих теми же массами.

На ветви  $k_1=k_1^{**}$  в движение также вовлекаются два диска, но их амплитуды растут с увеличением  $\alpha$ , а разность фаз стремится к  $\pi$ . Форма прогибов остается близкой к щапочке.

Квазирезонансная зона при возникновении расщепления довольно широкая, максимумы на характеристиках сильно «размыты». В окрестности  $k_1=k_1^{**}$  добротность остается меньшей, чем при  $k_1=k_1^*$ , где она постепенно увеличивается.

Нижний квазирезонанс исчезает полностью при пересечении параметром  $\alpha$  поверхности  $\alpha=\alpha_0(e, \gamma, v_1, v_2)$ . Для однородной пластины это случай симметрично расположенной трещины  $\alpha_0=1$ . Если слои разнородные, то поверхность задается уравнением тождественности волновых свойств дисков  $\Omega_{1,2}$ :

$$k_1=k_2 \Rightarrow \quad (5.2)$$

$$\alpha_0 = (x/\gamma)^{1/2} \Leftrightarrow (H_1/H_2)^2 = E_2 p_1 (1-v_1^2)/E_1 p_2 (1-v_2^2)$$

Колебания локализуются ( $p=0$ ), появляется действительный спектр – счетное множество частот, совпадающих со спектром колебаний защемленного диска  $\Omega_1$  или  $\Omega_2$ . Резонансы становятся неограниченными, в области  $\Omega_3$  движение отсутствует. Можно доказать, что на поверхности (5.2) коэффициенты динамичности всех величин инвариантны и решение системы (1.4) строится из двух решений задач о колебаниях защемленных дисков  $\Omega_{1,2}$  (выполняются равенства  $M_1=-M_2$ ,  $Q_1=-Q_2$ ).

Затем, при увеличении  $\alpha$  ( $\alpha > \alpha_0$ ) качественная картина повторяется с точностью до перемены мест слоев 1 и 2.

Обратимся к анализу энергетических и других характеристик колебаний системы. При малых  $\alpha$  энергия  $e_{12}$  дисков  $\Omega_{1,2}$ , мощность излучения на бесконечность  $p$ , отношение энергий  $e_1/e_2$  и амплитуда эффективного коэффициента интенсивности напряжений  $K$  (и ее коэффициент динамичности  $K_D$ ), как и другие характеристики, имеют ярко выраженный локальный максимум при  $k_1 \approx 3,2$  (фиг. 2, 5, 6). Отношение средней излученной за период энергии к суммарной энергии дисков  $2\pi r/\omega e_{12}$  при этом слабомонотонно возрастает по экспоненциальному закону с ростом  $k_1$ . Для больших  $\alpha$  ( $\alpha \approx \alpha_*$ ) на всех характеристиках появляются сильно размытые локальные максимумы вблизи частоты расщепления. Отметим появление точки  $k_1=k_{1a}$  ( $k_{1a} \approx 3,6$  для кривой 1 фиг. 2), в которой прекращается излучение на бесконечность, а энергия дисков  $e_{12}$  имеет резкий спад за счет снижения амплитуды колебаний более активного диска  $\Omega_1$ . Это аналог явления антирезонанса. При увеличении  $\alpha$  в интервале  $\alpha_* < \alpha < \alpha_0$  точка антирезонанса смещается влево и  $k_1^* < k_{1a} < k_1^{**}$  (фиг. 2, 5). Другие характеристики (max  $w_j$ ,  $K$ , ...) также имеют локальные минимумы вблизи этой точки. Аналогичное явление гашения колебаний численный счет обнаруживает и между следующими квазирезонансами (фиг. 2 и фиг. 7:  $e=\gamma=1$ ;  $\alpha_j=0,1$ ;  $0,2$ ;  $0,4$ ).

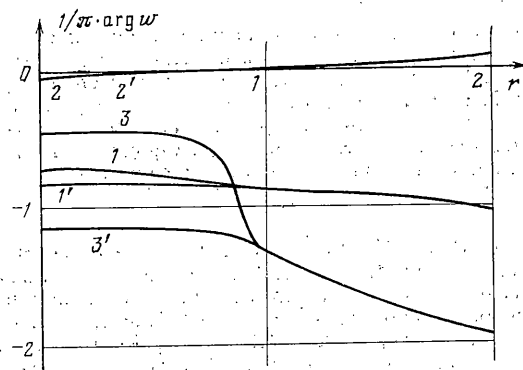
Резкие максимумы на графиках излучаемой мощности  $p$  и энергии  $e_{12}$  естественны для формы «жесткие шайбы» ( $k_1=k_1^*$ ). На первый взгляд кажется необычным подскок амплитуды коэффициента интенсивности  $K$  (и параметра  $K_D$ ). В случае  $E_2=4E_1$  (фиг. 6) эти величины в несколько раз больше, чем на верхнем квазирезонансе  $k_1=k_1^{**}$ . По графикам форм и фаз прогибов (кривые 1 и 1', 3 и 3' фиг. 3, 4) видно, что в обоих случаях трещина раскрыта слабо, но пластина сильно изогнута вблизи фронта трещины при  $k_1=k_1^*$ . Именно за счет изгиба следует отнести этот эффект.

Анализ результатов показывает, что упругая система обладает наибольшей чувствительностью к параметру  $\alpha$ . В сравнении с задачей об однородной пластине с трещиной варьирование параметров  $e$  или  $\gamma$  приводит к существенным изменениям соответствующих характеристик, к заметному смещению точек  $\alpha=\alpha_*$ ,  $\alpha_0$  согласно (5.2). Соотношения между максимумами на характеристиках при  $k_1=k_1^*$  и  $k_1=k_1^{**}$  также меняются, но всегда наблюдается локальный максимум энергии и мощности излучения в окрестности  $\alpha \approx \alpha_*$ ,  $k_1=k_1^*$ . Зависимости волновых чисел  $k_1^{*2}$  ( $\alpha$ ) первого квазирезонанса при соотношениях плотностей  $\gamma_j=4$ ; 1; 0,25 показаны на фиг. 8.

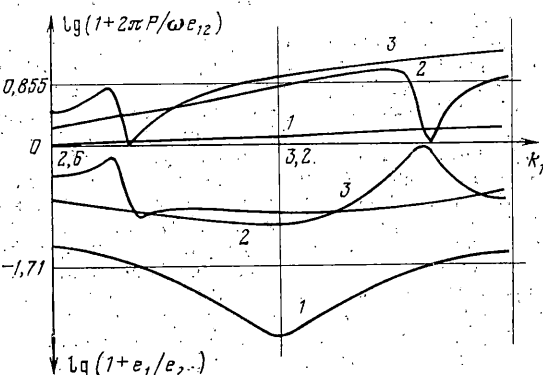
Изменение коэффициентов Пуассона  $v_1$ ,  $v_2$  относительно слабо влияет на характеристики.

Таким образом, качественная картина с описанными явлениями сохраняется в широком диапазоне значений параметров.

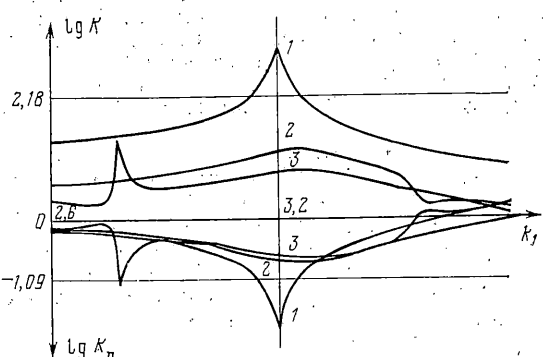
Конечно, эффекты расщепления с появлением промежуточных точек антирезонансов и неограниченных резонансов имеют место не только на первых частотах. Чем выше номер резонанса  $m$ , тем меньше значение  $\alpha_m^*$ , при котором на некоторой частоте впервые реализуется расщепление. Для пояснения снова рассмотрим коле-



Фиг. 4



Фиг. 5



Фиг. 6

бания двух защемленных по контуру пластин  $\Omega_{1,2}$ . На фиг. 9 представлены графики  $k_j(\alpha)$  резонансных волновых чисел обоих дисков. Точки пересечения сплошных и пунктирных линий образуют набор  $\{\alpha_{mn}\}$  и соответствуют одновременной реализации  $m$ -го резонанса  $\Omega_1$  и  $n$ -го резонанса  $\Omega_2$  при  $k_1=k_m^r$  или  $k_2=k_n^r$ . При больших значениях индексов  $k_m^r=\pi m+\beta_m$ ,  $\beta_m \rightarrow 0$  ( $m \rightarrow \infty$ ) и для величины  $\alpha_{mn}$  получаем [6]:

$$\alpha_{mn} = (k_n^r/k_m^r)^2 (\chi/\gamma)^{1/2} \approx (n/m)^2 (\chi/\gamma)^{1/2}$$

Резонансы в такой системе неограниченные и график суммарной энергии  $e_{12}$  имеет вертикальные асимптоты в узлах криволинейной сетки фиг. 9. При увеличении параметра  $\alpha$  происходит миграция резонансов из бесконечности в область низких частот. Однако в силу независимости колебаний  $\Omega_1$  и  $\Omega_2$  расщеплений это не вызывает. В узлах сетки происходят частичные наложения резонансов, пока при достижении значения  $\alpha=\alpha_0$  не произойдет их полного совпадения.

При малых  $\alpha$  между задачами о колебаниях пластины с трещиной и защемленного диска  $\Omega_1$  существует аналогия (дисперсионные уравнения асимптотически близки). Но чем больше индекс  $m$ , тем меньше значение  $\alpha$ , при котором в окрестности  $k_1 \approx k_m^r$  эта аналогия нарушается из-за возбуждения второго слоя. Упругие связи и наличие излучения искажают криволинейную сетку (фиг. 1, фиг. 9). Квазирезонанс расплывается и происходит расщепление с последующей миграцией одного из новой пары квазирезонансов в область низких частот (с ростом  $\alpha$ ,  $\alpha > > \alpha_m^*$ ) и порождением новых расщеплений.

Аналогия восстанавливается полностью при  $\alpha=\alpha_0$ : весь спектр становится действительным, а резонансы неограниченными.

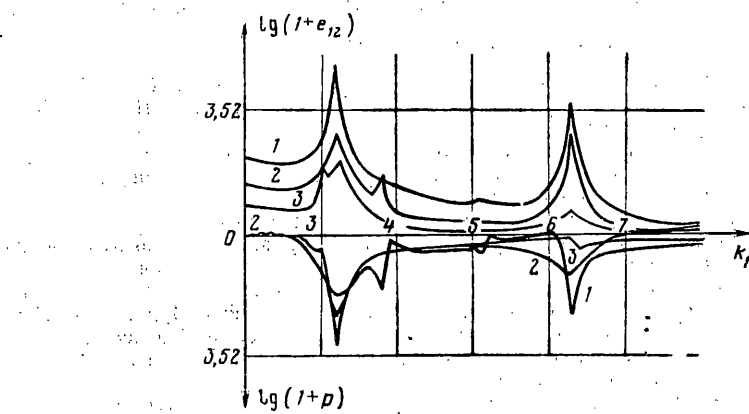
6. Подобно статике наводороженных приповерхностных трещин в металлах [7] можно ожидать, что при некоторых уровнях динамической нагрузки начинается усталостное или быстрое (мгновенное) разрушение либо за счет роста трещины, либо за счет изгибных напряжений в центре пластины с образованием поперечной трещины в дисках  $\Omega_1$  или  $\Omega_2$ . Для анализа начала разрушения необходимо сформулировать дополнительное условие — критерий разрушения. В качестве такового возьмем двухпараметрический критерий разрушения, в идейном отношении близкий к критериям Эрдогана-Си [2, 3].

Будем считать, что разрушение начинается в центре пластины, когда одно из напряжений  $\sigma_{rz}$  достигает критического уровня  $\sigma_j^c$  для данного материала. При анализе роста трещины для простоты полагаем, что соответствующего критического уровня  $\sigma^c$  должна достигать величина эффективного напряжения  $\sigma = (\sigma_z^2 + \sigma_{rz}^2)^{1/2}$  на расстоянии  $r=r_c$  от контура трещины на ее продолжении ( $r_c$  — параметр микроструктуры материала порядка размера зерна для металлов). Чтобы сделать вывод о том, где разрушение произойдет раньше, остается сравнить  $\sigma_{rz}/\sigma$  с соответствующими константами. Для этого естественно ввести вспомогательные функции (нижний индекс означает нормирование):

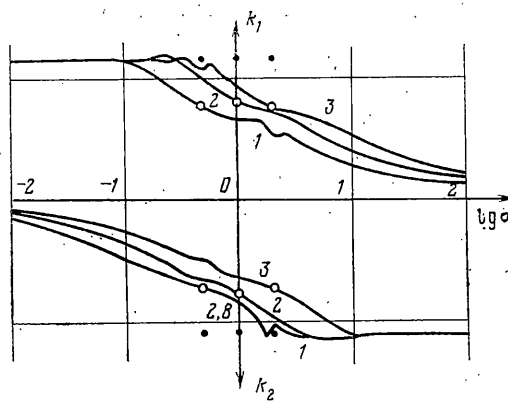
$$f_j(\alpha, e, \gamma, v_1, v_2, k_1) = K_0^2 (1+\alpha) / 2\pi |\sigma_{rz}^0|^2 \quad (6.1)$$

В итоге приходим к сравнению  $f_j$  со значениями  $N_j = r_c (\sigma^c / \sigma_j^c)^2 / H_s$ . При  $f_j > N_j$  и  $\sigma = \sigma^c$  разрушение будет происходить по имеющейся трещине, при  $f_j < N_j$  и  $|\sigma_{rz}| = \sigma_j^c$  начнет разрушаться центр пластины в области  $\Omega_1$ . Константы  $r_c$ ,  $\sigma_j^c$ ,  $\sigma^c$  должны быть определены в каждом конкретном случае. Вид функций  $f_j$  в зависимости от волнового числа  $k_1$  показан на фиг. 10 для случая  $\alpha_j=0; 1; 0.4; 0.8; e=0.25; \gamma=1$ .

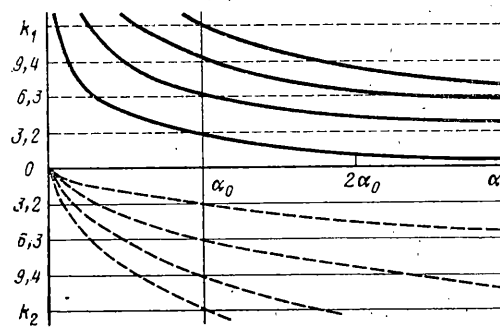
Сформулируем основные выводы. Асимптотическая теория позволила провести достаточно подробный параметрический анализ задачи, что затруднительно сделать в трехмерной постановке (для нее результаты могут рассматриваться как тестовые). Обнаружены расщепления квазирезонансов и сочетания параметров, при которых резонансы становятся неограниченными (5.2). При некоторых условиях колебания элементов слоев над и под трещиной напоминают синфазное движение впаянных в пластину жестких шайб, что не прогнозировалось заранее. Возрастание коэффициента интенсивности напряжений при этом объясняется сильным изгибом пластины.



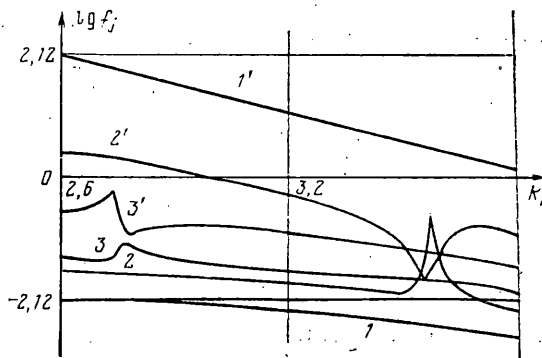
Фиг. 7



Фиг. 8



Фиг. 9



Фиг. 10

Комплекс программ расчета может быть использован в задачах оптимизации слоистых композитов. Ресурс надежности и возможную смену типа разрушения в каждом конкретном случае можно оценить из анализа амплитудно-частотных характеристик максимальных напряжений, эффективного коэффициента интенсивности напряжений (3.3) и вспомогательных функций  $f_j$  (6.1).

Хотя учет взаимодействия берегов трещины не проводился, результаты справедливы при наличии соответствующего статического фона (например, при действии внутреннего давления в процессе наводораживания [7]), либо начального малого раскрытия трещины (тонкая щель).

#### СПИСОК ЛИТЕРАТУРЫ

1. Симонов И. В. Асимптотический анализ трехмерных динамических уравнений тонких двухслойных упругих пластинок. //ПММ. 1989. Т. 53. Вып. 6. С. 976–982.
2. Эрдоган Ф., Си Дж. О распространении трещины в пластинах при плоском нагружении и поперечном сдвиге. //Теор. основы инж. расчетов. 1963. Сер. Д. Т. 85. № 4. С. 49–59.
3. Sih G. C. Strain-energy density factor applied to mixed mode crack problems. // Intern. Fract. Mech. 1974. V. 30. N 3. P. 305–321.
4. Черепанов Г. П. Механика разрушения многослойных оболочек. Теория трещин расслаивания. //ПММ. 1983. Т. 47. Вып. 5. С. 832–845.
5. Черепанов Г. П. Механика разрушения композиционных материалов. М.: Наука. 1983. 296 с.
6. Вибрации в технике./Под ред. В. В. Болотина. М.: Машиностроение. 1978. Т. 1. 352 с.
7. Гольдштейн Р. В., Морозова Т. М., Павловский Б. Р. Модель возникновения структур разрушения в сталях при наводораживании. //Изв. АН СССР. МТТ. 1989. № 4. С. 131–138.

Москва

Поступила в редакцию  
16.XI.1989